

## II-117 活性汚泥の反応速度に及ぼす水温の影響について

京都大学工学部 ○ 学生員 福嶋俊貴  
京都大学工学部 正員 宮原功  
京都大学工学部 正員 河村清史

### 1. はじめに

活性汚泥法の合理的操作確立のため、浄化機構をその反応主体である活性汚泥に着目し、DNAを生物量指標、RNAを生物活性度指標として導入しモデル化してきた。ここでは、このモデルの現実の場への適用の準備として水温を変えた回分実験によって、モデルの評価とモデル式中の反応速度の算出を試みた。

### 2. モデルの提示

DNA, RNA, 浮遊性基質を導入したモデルを図1に、またモデル式を表1に示し使用した記号の説明を表2にまとめた。このうち、汚泥性状にかかわらず一定であるべきものとみなせる $\alpha$ ,  $\beta$ ,  $\gamma$ は従来得られた値とほぼ同じとみなし、その他の反応速度定数について本温の影響を検討するため、以下の実験を行なった。

### 3. 実験方法

実験はRUN I～IVよりなる。RUN Iは浮遊性基質の代謝と自己分解に及ぼす水温の影響を検討するため、RUN II, III, IVは溶解性基質の代謝に及ぼす水温の影響を検討するために行なった。なお、溶解性基質は都市下水の3液と、これが薄いため生活汚泥の超音波破壊遠心分離により作成した基質を与えた。設定水温はRUN Iは10°C, 15°C, 20°C, 30°C, RUN II, III, IVは10°C, 20°C, 30°Cとし、水温の維持にはヒーターを用いた。水温変動はあらかじめ±1°Cである。また実験に先立ち活性汚泥の十分な温度馴致を行なった。分析項目は重クロム酸カリウム法によるCOD (サンプルのCODをT-COD, SS用フィルタの3液のCODをS-COD, 両者の差をP-CODとする), Burtonの変法によるDNA、紫外外部吸光度によるRNAである。

### 4. 実験結果

実験結果の一例を図2, 3, 4に示す。なお浮遊性基質については、温度馴致の間に下水中の沈殿性物質をかねり投入したため難分解性の部分が多く存在していると考えられるので次式で算出した。

$$(浮遊性基質 COD) = (P-COD) - (DNA / 6.03) - (難分解性浮遊性基質 COD)$$

| 溶解性基質 COD, C <sub>1</sub> の除去   |                                     |  |
|---|-------------------------------------|--|
| $\frac{dC_1}{dt} = -k_{R1} C_1 (1 - \frac{C_1}{C_{10}})$                                      |                                     |  |
| 溶解性基質 COD, C <sub>2</sub> の自己分解   |                                     |  |
| $\frac{dC_2}{dt} = -k_{R2} C_2 (1 - \frac{C_2}{C_{20}})$                                      | (ただし DNA ≤ 5% 部分へ C <sub>2</sub> へ) |  |
| 溶解性基質アルル中の溶解性基質 COD, C <sub>3</sub> の変化   |                                     |  |
| $\frac{dC_3}{dt} = k_{R3} C_1 (1 - \frac{C_1}{C_{10}}) + k_{R4} C_2 (1 - \frac{C_2}{C_{20}})$ | - $k_{R5} C_3$ RNA                  |  |
| DNAの変化  |                                     |  |
| $\frac{dDNA}{dt} = \alpha k_{R6} C_2 RNA - k_{R7} DNA$  |                                     |  |
| RNAの変化  |                                     |  |
| $\frac{dRNA}{dt} = \beta k_{R6} C_2 RNA - k_{R8} (RNA - \gamma DNA)$                          | - $\gamma k_{R9} RNA$               |  |
| 溶解性 COD, C <sub>4</sub>   |                                     |  |
| $C_4 = C_1 + C_2$   |                                     |  |
| $C'_1 = \text{溶解性難分解性 COD}$   |                                     |  |
| $C'_2 = C_{10} + C'_1 + C_2 + \frac{DNA}{0.03}$   |                                     |  |
| 溶解性 COD, C <sub>5</sub>   |                                     |  |
| $C_5 = C_{10} + C'_1 + C_2 + \frac{DNA}{0.03}$  |                                     |  |

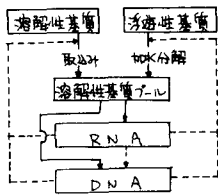


図1 基質, RNA, DNA の関係

表2 パラメータ一覧表

| 記号       | 意味                               | 単位        | 値                     |
|----------|----------------------------------|-----------|-----------------------|
| $k_{R1}$ | 溶解性基質 COD 除去速度定数                 | 1/hr      | $1.5 \times 10^{-1}$  |
| $k_{R2}$ | 溶解性基質アルル中の溶解性基質 COD 代謝速度定数       | RNA/mg/hr | $1.0 \times 10^{-2}$  |
| $k_{R3}$ | 溶解性基質 COD 加水分解速度定数               | RNA/mg/hr | $8.0 \times 10^{-4}$  |
| $k_{R4}$ | DNAの自己分解速度定数                     | 1/hr      | $1.22 \times 10^{-3}$ |
| $k_{R5}$ | RNAの自己分解速度定数                     | 1/hr      | $2.2 \times 10^{-3}$  |
| $\alpha$ | 代謝 COD 量の合成 DNA 量への換算係数          | -         | 0.017                 |
| $\beta$  | 代謝 COD 量の合成 RNA 量への換算係数          | -         | 0.05                  |
| $\gamma$ | 自己分解率の RNA/DNA                   | -         | 0.66                  |
| $S$      | 溶解性基質アルル中の難 COD 量 (VIA による難 COD) | -         | 36                    |

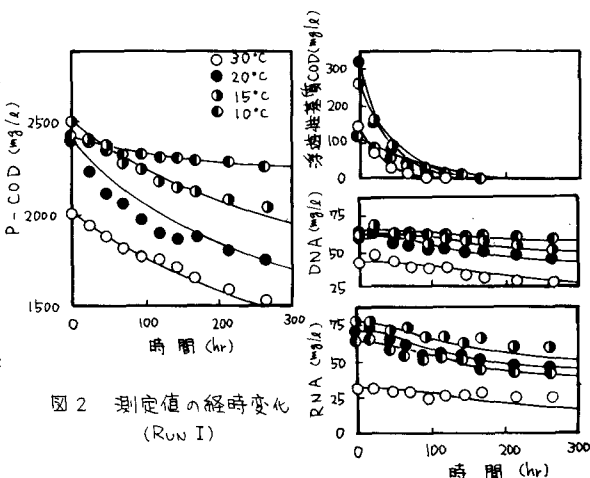


図2 測定値の経時変化 (RUN I)

浮遊性基質の代謝については水温に關係なく各指標はほぼ同じパターンを示す。すなはち、P-CODは初期の早い減少とその後のゆるやかな減少がある。S-CODは次第に増加し一定となる。浮遊性基質CODはケースにより濃度が異なるため図2からは温度効果はみられないが、1次反応的減少を示す。また、DNAは初期にはほぼ一定かゆ、くり増加し、その後ほぼ直線的に減少するが、RNAは初期にはほぼ一定かゆ、くり減少し、その後すみやかに減少しやがてDNAと並行する。溶解性基質の代謝については都市下水の3液の場合基質濃度が低く明確ではないが、活性泥の超音波破壊により作られた基質の場合S-CODは水温にかからず1次反応的に減少し、水温が高いほど減少が速い。DNA RNAはS-CODが減少する間にゆ、くり増加し、ほぼ一定となる。

### 5. 反応速度に及ぼす水温の影響

以上の実験データをもとに表2に示した各反応速度定数を求めて水温の影響を検討した。反応速度の求め方については文献(1)により、ここでは結果のみを表3に示す。ただし $k_4$ についてはデータ不備のため直接には求めず、DNAと同じ水温の影響があると考えた。水温の影響を調べるために水温に対する片対数プロットをすると図5となり、実験の範囲内では直線關係にあつた。このグラフの傾きより温度係数θを求めると、 $k_{11}$ は $\theta=1.039$ 、 $k'_{11}$ は $\theta=1.033$ 、 $5 \times 10^3$ 、 $k_{12}$ は $\theta=1.057$ 、 $k_3$ は $\theta=1.062$ 、 $k_4$ は $\theta=1.046$ である。これにより浮遊性基質の加水分解に及ぼす水温の影響は溶解性基質の除去よりも大きいことがわかった。また、溶解性基質の除去に及ぼす影響には都市下水と超音波破壊によるものと大差ないこともわかった。これらの値をすでに報告されている値<sup>(2)</sup>と比べると、基質の代謝速度も自己分解速度も $10^{\circ}\text{C} \sim 30^{\circ}\text{C}$ の範囲では近いものであった。

以上の温度効果の確認のためシミュレーションを試みたところ、図中の実線で示すようにほぼ満足いく結果を得ることができた。

### 6. おわりに

水温が変わったときの活性汚泥の挙動をみるとことにより、活性汚泥の浄化機構をより現実的にうらえようとしてきたが、反応速度定数には明らかに水温の影響がみられた。そこでそれを温度係数θで評価し、シミュレーションを行なうと実測値をうまく説明することができた。今後、これらを用いて季節を考慮した活性汚泥法システムの検討をする。

参考文献(1) 宮川・河村・安福 下水道協会誌 Vol. 17 No. 196 1980/4

2) 橋本・鳥山 下水道協会誌 Vol. 14 No. 161 1977/10

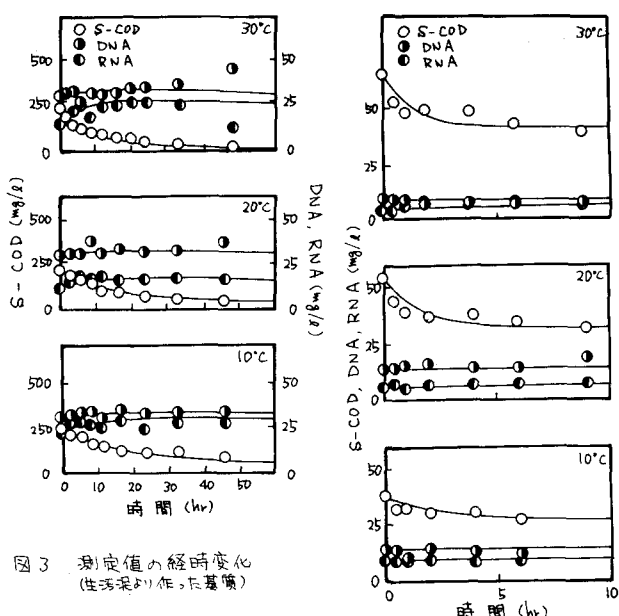


図3 測定値の経時変化  
(活性泥より作成した基質)

表3 各水温の反応速度定数

|                      | $k_{11}$               | $k'_{11}$ | $k_{12}$ | $k_3$                | $k_4$                 |
|----------------------|------------------------|-----------|----------|----------------------|-----------------------|
| $10^{\circ}\text{C}$ | 0.062                  | 0.44      | 0.006    | $2.5 \times 10^{-4}$ | $0.60 \times 10^{-3}$ |
| $15^{\circ}\text{C}$ |                        |           |          | $3.1 \times 10^{-4}$ | $0.84 \times 10^{-3}$ |
| $20^{\circ}\text{C}$ | 0.077                  | 0.59      | 0.010    | $4.7 \times 10^{-4}$ | $1.14 \times 10^{-3}$ |
| $30^{\circ}\text{C}$ | 0.132                  | 0.85      | 0.018    | $8.5 \times 10^{-4}$ | $2.10 \times 10^{-3}$ |
| 備考                   | 活性泥を超音波<br>り作成した<br>基質 |           |          |                      |                       |

図4 測定値の経時変化  
(都市下水の3液)

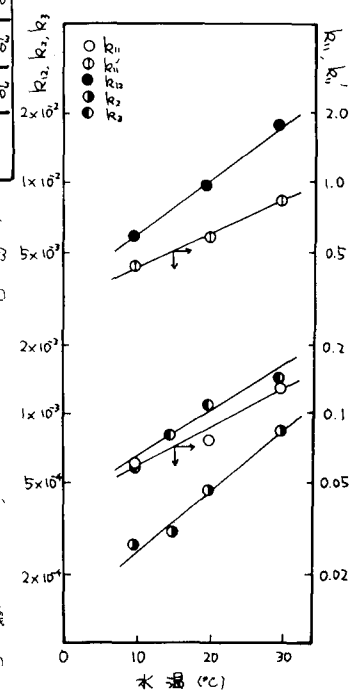


図5 水温と反応速度定数